

2상 및 3상 변조된 각상별 랜덤 펄스위치 펄스폭 변조기법의 성능비교

위석오^{*o}, 임영철^{*}, 정영국^{**}, 나석환^{***}

^{*}전남대학교 전기공학과, ^{**}대불대학교 전기공학과, ^{***}(주)하우 무선데이터 통신연구소

A Comparative Study on the Performance of Two-Phase and Three-Phase Randomized Pulse Position PWM Scheme

^{*o} Seog-Oh Wi, ^{*}Young-Cheol Lim, ^{**}Young-Gook Jung, ^{***}Seok-Hwan Na

^{*}Chonnam National University, ^{**}Daebul University, ^{***}How Inc.

ABSTRACT

In this paper, a comparative study on the performance of two-phase and three-phase randomized pulse position PWM scheme for mitigation of audible switching acoustic noise in motor drives is done. In the randomized pulse position PWM, each of two-phase or three-phase PWM pulses is located randomly in each switching interval. Simulation and experimental efforts were executed to investigate the spread effects of power spectra of inverter output voltage, waveforms of ripple current and audible switching acoustic noise.

1. 서 론

확정적 주파수의 PWM제어는 전압원 인버터, 직류 전원장치, 무정전 전원장치등 상용화된 전력전자 장비에 광범위하게 적용되어져 오고 있다. 확정적 주파수의 PWM 전압제어 방법은 스위칭 주파수의 원치 않는 정수배의 고조파를 발생시키고, 또한 EMI(Electromagnetic interference)문제와 인버터 구동장치의 근본적인 가정 스위칭 소음을 유발하고 있다. 스위칭 모드 전원장치(SMPS)와 같이, 보다 고속으로 스위칭하는 전력전자 변환장치는 스위칭 소음보다는 EMI가 심각한 문제로 등장하며 이는 곧바로 전력전자 변환기의 신뢰도를 저하시키고 있다[1].

이와 같은 확정적 주파수의 PWM기법을 대체할 수 있는 방법이 1987년부터 본격적으로 주목받기 시작하였다. 이 방법을 비 확정적 또는 RPWM (Random PWM)제어라 한다. RPWM기법은 고조파 및 소음 발생을 저감하기 위해 랜덤한 스위칭 패턴이 사용되고 있다. 이 방법은 인버터로 구동되는 모터로부터 발생되는 소음의 스위칭 전력을 광대역 주파수 영역으로 확산함

으로서 인간에게 불쾌감을 주는 소음을 저감하고 있다 [2]. RPWM기법의 초기 단계의 연구[3,6,7]는 실험적인 구현과 고조파 및 소음 스펙트럼 분석에 중점을 두었으나, 최근에 와서는 확률 이론에 의한 스펙트럼의 이론적 해석과 예측에 대한 연구[4,5]가 진행되고 있다. 이와 같은 RPWM기법은 매 스위칭 주파수를 랜덤하게 변조하는 RSF-PWM (Random Switching Frequency PWM) [5-11]과 매 스위칭 구간의 시간은 일정하지만 펄스를 변조구간 내에서 랜덤하게 위치시켜 스위칭 주파수의 랜덤효과를 갖도록 한 RPP-PWM(Random Pulse Position PWM) [12-15]등으로 분류된다.

먼저 RSF-PWM은 구현 방식에 따라 캐리어 변조와 공간벡터 변조로 나누어지며, 캐리어 변조 RSF-PWM 기법에는 아나로그 회로에 의하여 발생된 캐리어의 경사도를 랜덤하게 변조하는 방법[5]과 캐리어 주파수를 랜덤하게 변조하는 방법[6]이 있다. 공간벡터 RSF-PWM기법은 출력 주파수의 1주기당 스위칭 수 N을 랜덤하게 변경하는 방법[7]과 1주기당 매 60°내의 스위칭 수 N_s 를 랜덤하게 하는 방법[8]으로 구분된다. 이 방법은 발생된 랜덤수의 확률밀도 함수에 따라 고조파 및 소음의 스펙트럼이 지대하게 영향을 받는 특성이 있으며, 최근에 와서 많은 연구가 진행되고 있다. 공간벡터 RSF-PWM기법은 스위칭 손실을 줄이기 위한 MLVRP-PWM(Minimum Switching Loss, Variable Pulse Rate PWM[8]과 제한된 풀 RPWM (Limited Pool RPWM) [9], Holtzer법[10]에 의하여 공진 주파수를 예측한 후, 지능적 전력밀도 함수로 해당 공진 주파수만을 상쇄하는 연구[11]등도 진행된 바 있다.

한편 RPP-PWM기법에는 각상의 펄스 위치가 1주기의 앞과 뒤 중의 어느 하나만이 랜덤하게 선택되는 RLL-PWM(Random Leading-Lagging PWM)방식[12], 중앙정렬 SVM(Space Vector Modulation)의 펄스 중심을 랜덤하게 정렬하는 RCD-PWM (Random Centered

Displacement PWM)[13] 그리고 중앙정렬 SVM의 영벡터 $V(1,1,1)$ 과 $V(0,0,0)$ 의 시간 분배를 랜덤하게 하는 RZV-PWM (Random Zero Voltage Vector Distribution PWM)등이 있다[14]. 최근 들어 각 상의 펄스들이 상호 독립적으로 랜덤한 위치를 갖는 SRP-PWM (Separately Randomized Pulse Position PWM)[15-17]이 저자들에 의하여 제시된 바 있다.

이상에서 언급된 RPWM에 관한 연구는 대부분이 3상 변조법을 대상으로 진행되어져 왔다. 3상 변조법은 낮은 기본파 전압의 영역에서 인버터 구동 모터의 고조파 손실과 토크 맥동이 2상 변조법에 비해 우수하다. 그러나 높은 기본파 전압의 영역에서는 3상 변조법 보다는 2상 변조법이 일반적으로 유리하며, 특히 고주파 스위칭의 용용에서는 스위칭 손실과 구현의 용이성에 있어서 2상 변조법이 3상 변조법 보다는 우수하다. 또한 인버터로 제어되는 모터를 위한 자속오차 평균값의 최소화 관점에서는 인버터 제어를 위해 요구되는 연산시간이 매우 감소된다는 점이 보고되고 있다[18-20].

따라서 본 연구에서는 모터 구동 장치로부터 발생되는 가정 스위칭 소음을 저감하기 위한 2상 및 3상 랜덤 펄스 위치 PWM기법의 성능을 비교하였다. 랜덤 펄스 위치 PWM기법은 2상 또는 3상 펄스들을 변조 구간내의 임의의 위치에 랜덤하게 배치하고 인버터 스위칭에 의하여 고조파의 스펙트럼을 광역화하는 RPWM기법이다. MATLAB/SIMULINK 시뮬레이션과 C167기반의 실험에 의하여, 인버터 출력 선간 전압의 고조파 스펙트럼 및 맥동 전류 파형 그리고 모터의 가정 스위칭 소음의 저감 효과를 비교 검토하였다. 스위칭 손실 및 연산시간 그리고 구현의 용이성에서 3상 RPWM보다는 2상 RPWM이 양호하며, 고조파의 광대역화 측면에서는 3상 RPWM이 보다 좋은 성능을 지니고 있음을 알 수 있었다. 또한 가정 스위칭 소음저감은 2상 RPWM과 3상 RPWM은 거의 유사한 성능을 갖고 있음이 확인되었다.

2. 개별적 펄스 위치 랜덤화(SRP-PWM)

그림 1에서 기준 전압벡터 V^* 를 합성하기 위해서는 V_1 , V_2 를 어떤 계산된 시간만큼 적절히 나누어 인가해 줌으로써 가능하다. 그림2와 그림3은 각상의 펄스를 개별적으로 랜덤하게 배치 가능한 3상 및 2상 SRP-PWM의 펄스 패턴을 보여주고 있다. 이 방법은 변조 구간내에서 매우 자유롭게 펄스를 배치할 수 있기 때문에 스펙트럼 및 소음 분포의 효과가 매우 크다. 공간벡터 변조에 의하여 매 제어 구간마다 각 상의 펄스의 듀티비가 구해지면 SRP-PWM을 수행하기 위하여 펄스의 위치를 랜덤하게 하는 작업이 필요하다. 랜덤 발생기법[15-17]에 의하여 생성된 랜덤수를 펄스가 위치할 수 있는 범위 안에 들도록 공간을 재설정한다.

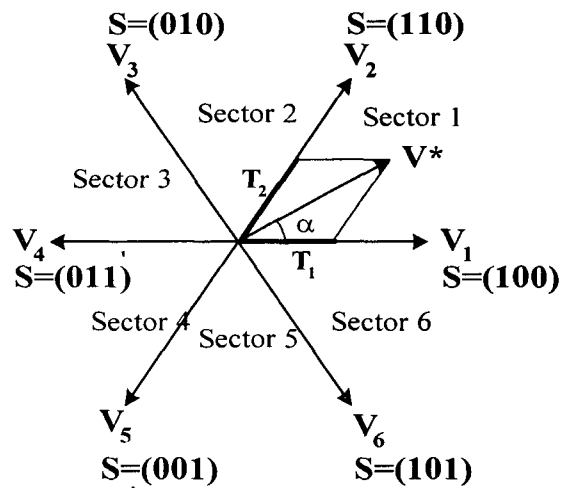


그림1 공간 벡터도

Fig.1 Diagram for space vector modulation.

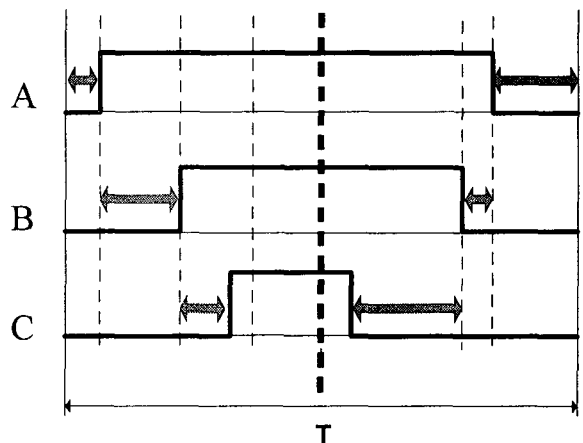


그림2 3상 SRP-PWM 각상의 펄스

Fig.2 Each phase pulse with three-phase SRP-PWM

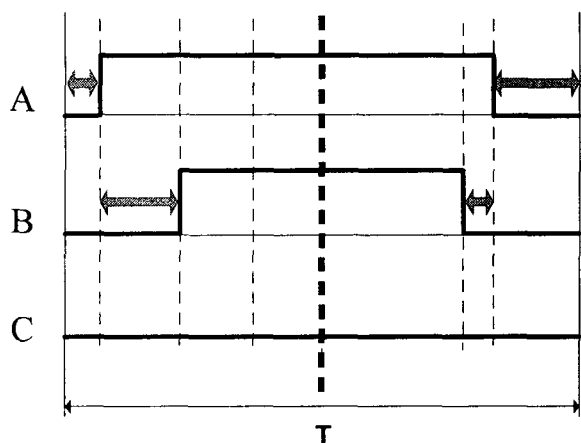


그림3 2상 SRP-PWM 각상의 펄스

Fig.3 Each phase pulse with two-phase SRP-PWM

각 펄스들이 위치 할 수 있는 범위는 현재 지령치 전압벡터가 상태공간벡터상의 6개의 섹터 중 어느 위치에 있는가에 따라 달라진다. 만일 섹터1에 지령치 공간벡터가 있어서 벡터 V_1, V_2 가 시분할로 인가되어야 할 때 각 상 펄스의 상대적인 크기와 펄스가 위치할 수 있는 영역을 그림4에 나타낸다. 이 경우 a상 펄스가 위치 할 수 있는 범위는 변조지수 $M=1$ 이라고 가정하면, 변조구간내의 어느 위치에도 올 수 있으며, b상 펄스는 a상 펄스의 한계를 벗어나지 않는 범위 내에 위치해야 하며, 마찬가지로 c상 펄스도 b상 펄스의 한계를 벗어나지 않는 범위 내에 들어야 한다. 만일 어느 하나의 펄스라도 한계를 벗어난다면 3상 또는 2상 펄스의 조합에 따라 결정된 스위칭 상태가 변경되므로 전혀 다른 스위칭을 추가로하게 된다. 한계를 벗어나지 않는다면 한변조구간 내에서 펄스의 위치가 변경되더라도 영벡터와 두개의 유효벡터가 인가되는 각각의 시간에는 변함이 없음을 알 수 있다.

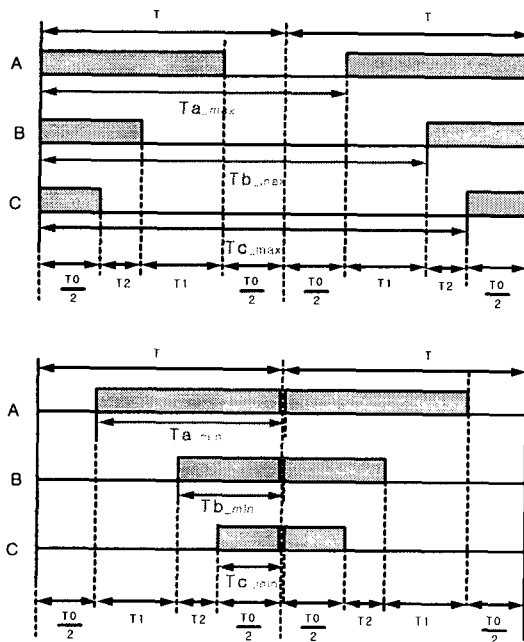


그림4 최대 및 최소 유효 스위칭 주파수
Fig.4 Maximum and minimum effective switching frequency

펄스의 위치가 매 변조구간에서 변경되므로 이는 스위칭 주파수가 변하는 것과 같은 효과를 갖게 된다. 이를 위하여 '유효 스위칭 주파수'라는 용어를 편의상 도입하기로 한다. 이 유효 스위칭 주파수의 최대 값은 그림4에서 보듯이 이전 변조구간에서 펄스가 가장 뒷부분에 위치하고 다음 변조구간에서 구간의 시작 부분에 위치할 때이다. 유효 스위칭 주파수의 최대값 $T_{(abc)_{\max}}$ 과 최소값 $T_{(abc)_{\min}}$ 은 식 (1)과 식 (2)로 표현할 수 있다.

$$T_{a_{\max}} = \frac{T_0}{2} + T_2 + T_1 + T_0 = T + \frac{T_0}{2}$$

$$T_{b_{\max}} = \frac{T_0}{2} + T_2 + 2T_1 + T_0 \quad (1)$$

$$T_{c_{\max}} = \frac{T_0}{2} + 2T_2 + 2T_1 + T_0 = 2T - \frac{T_0}{2}$$

$$T_{a_{\min}} = T_1 + T_2 + \frac{T_0}{2} = (2T - T_{a_{\max}})$$

$$T_{b_{\min}} = T_2 + \frac{T_0}{2} = 2T - T_{b_{\max}} \quad (2)$$

$$T_{c_{\min}} = \frac{T_0}{2} = 2T - T_{c_{\max}}$$

그림 5는 SRP-PWM의 구현을 하기 위한 흐름선도이다. 3상 SRP-PWM을 구현하기 위해서는 먼저 우측 정렬 3상 SVM을 구현하고, 이를 바탕으로 펄스위치를 변경시켜야 SRP-PWM이 쉽게 실현될 수 있다.

SVM은 벡터 공간상의 2개의 유효 스위칭 벡터의 시간적인 합성을 통하여 벡터 공간상의 전압지령을 자유롭게 구현할 수 있는 변조기법이다. 유효벡터 인가시간 T_1, T_2 를 구하기 위해 사용되는 초월함수는 알고리즘상에서 많은 시간이 소요되기 때문에 지령벡터의 각도에 따른 T_1, T_2 의 비율을 오프라인으로 구하고, PWM을 발생시키기 위한 알고리즘 내에서 변조지수 M 을 곱하여 2개의 유효벡터들의 인가시간을 구해낸다.

그런데 실제의 제어 펄스는 각 상별로 제어하여야 하므로 T_1, T_2 의 합성을 통하여 각 상별 인가 시간을 구하게 된다. 그리고 지령벡터가 홀수 섹터에 있으면, 유효벡터 중 후행 유효벡터 인가시간은 T_1 , 선행 유효벡터는 T_2 이며, 지령벡터가 짝수 섹터에 있으면 선행벡터 인가시간이 T_1 , 후행 유효벡터 인가시간은 T_2 로 된다. 따라서 섹터의 홀수 및 짝수 여부에 따라 지령벡터의 합성순서를 재배치하여야 올바른 각 상별 드티비를 구할 수 있다. 이와 같이 구해진 각 상별 드티비에 적절한 정수를 곱하여 PWM발생용 카운터에 인가될 데이터를 구할 수 있게 된다.

본 연구에서 구현된 SRP-PWM는 우측정렬 SVM을 통하여 얻어진 펄스의 위치를 좌측으로 어느 정도 변위시킬 것인가를 랜덤함수를 사용하여 구현한다. 이를 위해 각 상별로 드티비 별로 정렬하고 가장 드티비가 큰 상부터 영벡터 범위 내에서 랜덤수를 발생시켜 영벡터 인가시간 범위내에서 펄스를 랜덤하게 위치시킨다. 나머지 두상도 차례대로 지령벡터가 흐트러지지 않는 펄스 범위에서 위치를 랜덤하게 재배치시키면 SRP-PWM을 구현할 수 있다.

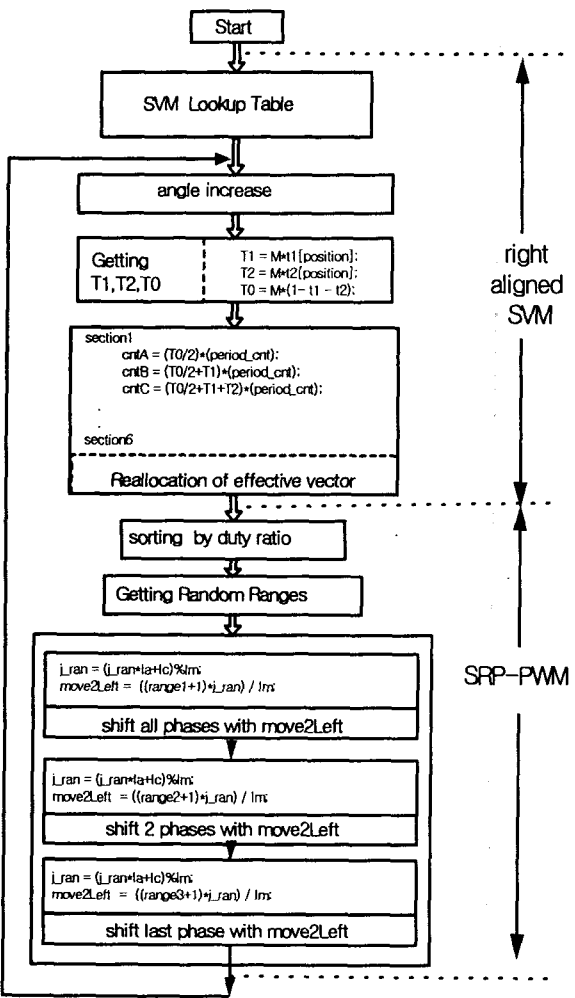
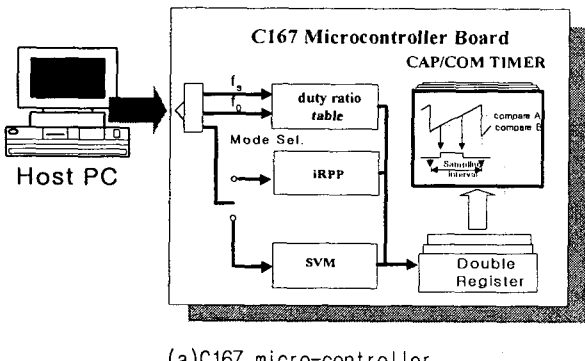


그림5 2상 및 3상 SRP-RWM의 구현

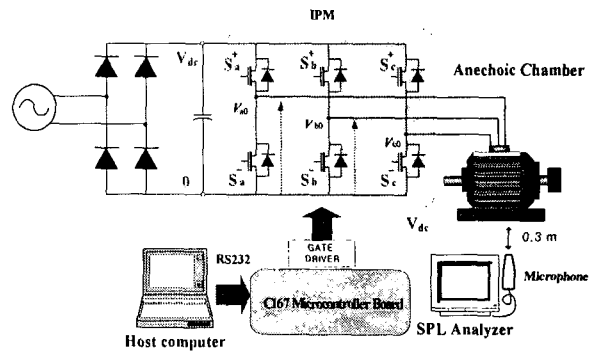
Fig.5 Implementation of two-phase and three-phase SRP-PWM

3. 시스템 구성

그림 6은 제안된 기법을 구현하기 위한 실험 시스템을 나타내고 있다. 본 연구의 내용은 주로 PWM 발생 기법에 있으므로 응답성이 좋은 고성능의 폐루프 제어 대신에 간단한 개루프 전압제어 방식을 택하였다.



(a)C167 micro-controller



(b)experimental system

그림6 실험 시스템

Fig.6 Configuration of the experimental system

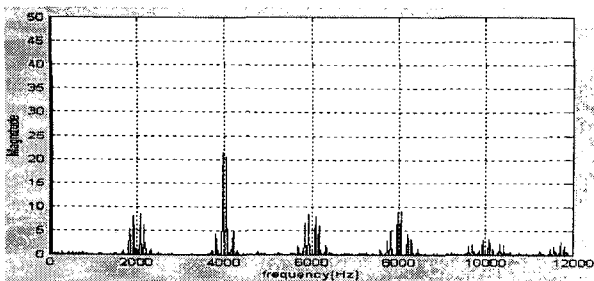
시스템은 C167 마이크로 콘트롤러 보드, IPM 인버터, 1.5kW 유도모터, 제어 프로그램 그리고 호스트 프로그램 등으로 구성되어져 있다. 공간벡터 변조 및 랜덤수 발생등의 모든 연산은 C167내의 제어 프로그램에 의하여 수행될 뿐만 아니라 C167 포트 출력은 바로 IPM을 케이팅 할 수 있는 신호이다. 즉 PLD를 사용하지 않고 C167에 내장된 CAP/COM(Capture/Compare)기능을 사용하여 저비용의 전력제어장치를 구현하였다.

4. 실험 결과 및 고찰

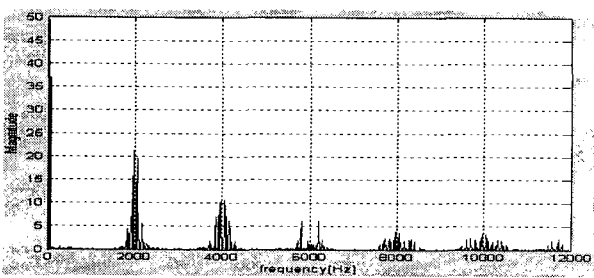
모터를 무부하, 40Hz의 지령속도, 변조지수 $M=0.7$, 2kHz의 스위칭 주파수로 오픈 루프 운전하였을 때, 모터 구동 장치로부터 발생되는 가청 스위칭 소음을 저감하기 위한 2상 및 3상 랜덤 펄스 위치 PWM기법의 성능을 비교하였다.

4.1 인버터 출력전압의 고조파 스펙트럼

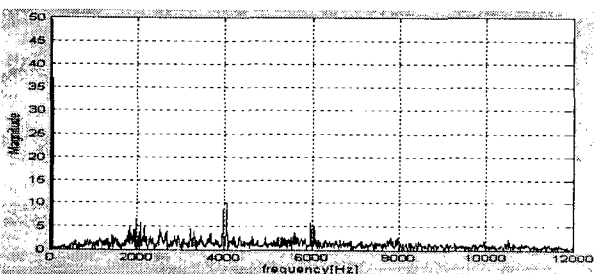
확정적 주파수 SVM과 RPWM의 인버터 출력 선간 전압에 대한 고조파 스펙트럼은 가청 스위칭 소음의 스펙트럼 분석에 있어서 중요한 의미를 갖고 있다. 왜냐하면 어떤 방식의 PWM기법에 의하여 인버터 전압이 형성되었는가에 따라 스위칭 소음의 스펙트럼 또는 전류 파형 등이 결정되기 때문이다. MATLAB/SIMULINK 시뮬레이션과 실험에 의한 인버터 전압의 스펙트럼 분석 결과를 그림7과 그림8에 각각 나타내고 있으며 시뮬레이션 결과와 실험 결과는 서로 잘 일치하고 있음을 보이고 있다. 우선 그림7(a)과 그림8(a)에서 보는 바와 같이 3상 SVM은 2배의 스위칭 주파수 4kHz에서 가장 강한 고조파 성분이 있고, 스위칭 주파수 2kHz에서 다음으로 강한 고조파 성분이 있다. 그러나 그림7(b)과 그림8(b)의 2상 SVM의 경우에는 3상과는 반대로 스위칭 주파수에서 가장 강한 고조파 성분이 있고, 2배의 스위칭 주파수에서 그 다음으로 강한 고조파 성분이 있다.



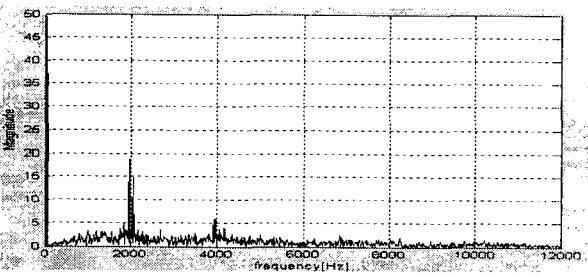
(a)3 phase SVM



(b)2 phase SVM



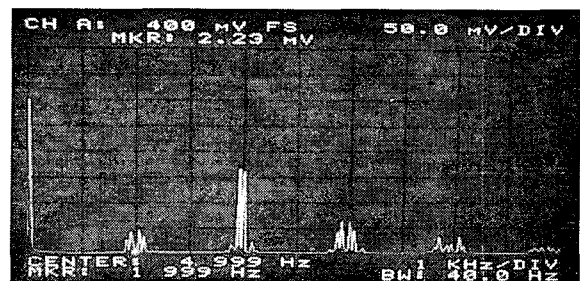
(c)3 phase SRP-PWM



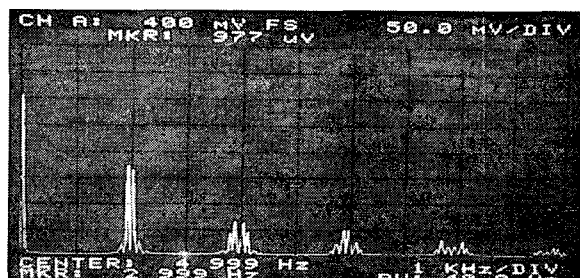
(d)2 phase SRP-PWM

그림7 시뮬레이션에 의한 선간전압의 고조파 스펙트럼
Fig.7 Harmonic spectrum of line to line voltage by simulation

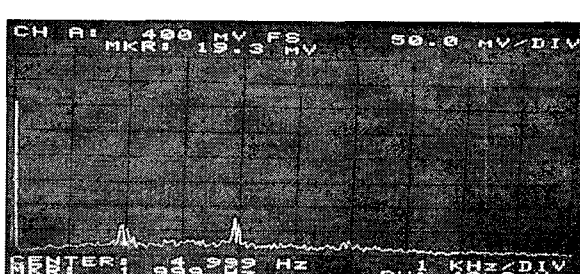
그림 7(c)와 그림 8(c)는 SRP-PWM기법을 3상에 적용한 결과로서, 스위칭 주파수와 2배의 스위칭 주파수에서 약간 고조파가 있는 것을 제외하고는 전 구간에서의 고조파 성분은 특정 주파수에 고정되지 않고 넓은 영역에 고루 분포되고 있다. 그림 7(d)와 그림 8(d)는 SRP-PWM기법을 2상에 적용한 결과이다. 2상에 적용



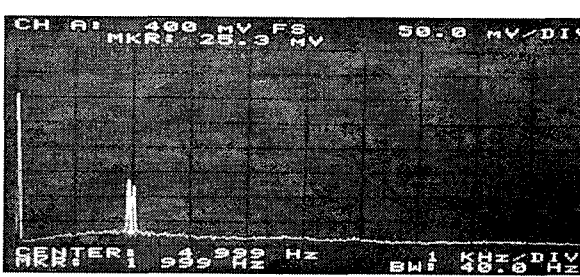
(a)3 phase SVM



(b)2 phase SVM



(c)3 phase SRP-PWM



(d)2 phase SRP-PWM

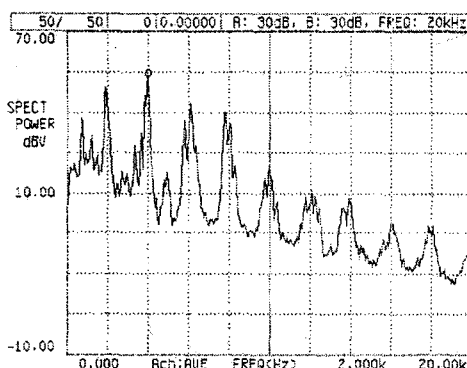
그림8 실험에 의한 선간전압의 고조파 스펙트럼
Fig.8 Harmonic spectrum of line to line voltage by experiment

된 SRP-PWM기법은 3상 SRP-PWM기법과 비교하여 스위칭 주파수의 고조파가 존재하고 있는 것을 제외하면 고조파는 거의 이상적인 랜덤 특성을 갖고 있다. RPWM기법은 전체 고조파 량을 저감하기 위한 능동전력필터 시스템등과 다르게, RPWM이 적용되기 전과 비교하여, 전체 고조파의 량은 저감되지 않는다. 단지

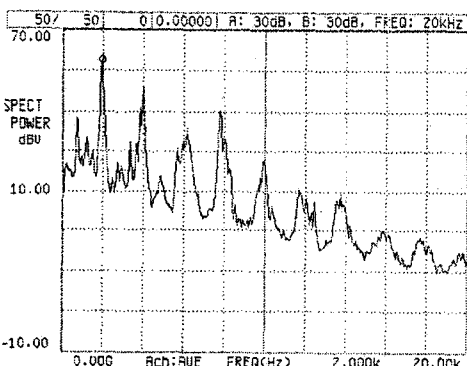
SVM의 적용시 특정 스위칭 주파수의 정수배에 집중되어져 있던 스펙트럼을 광대역으로 분산시켜 서론에서 언급된 여러 효과를 얻게 하는데 그 목적이 있다.

4.2 가정 스위칭 소음의 스펙트럼

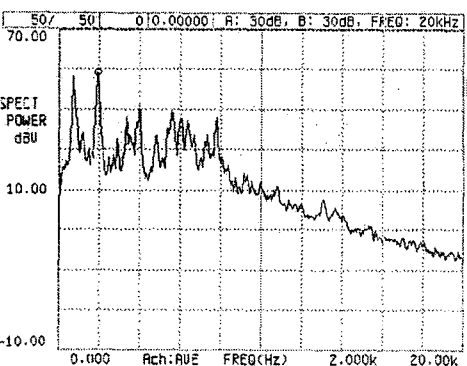
본 연구에서 인버터에 의해 구동되는 유도모터의 스위칭 소음의 파워 스펙트럼을 얻기 위한 실험은 특별히 설계된 6면이 모드 흡음제로 밀폐되어 있는 무향실(無響室)에서 수행되었으며, 측정 장비로는 소음 및 진동 신호에 대한 분석이 가능한 전용 측정기 「RION SA-74」를 사용하였다[15-17].



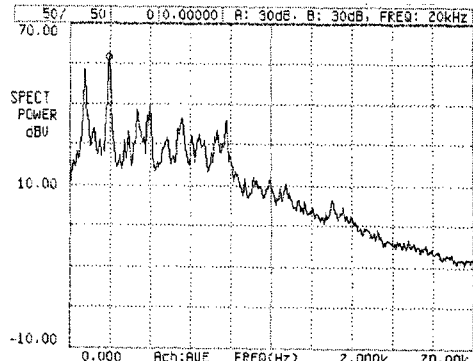
(a) 3 phase SVM



(b) 2 phase SVM



(c) 3 phase SRP-PWM



(d) 2 phase SRP-PWM

그림 9 가정 소음의 고조파 스펙트럼

Fig. 9 Harmonic spectrum of audible acoustic noise (2kHz/div.)

실험 결과의 분석에 사용된 데이터는 유도모터로부터 측면 15cm떨어진 곳에 설치된 마이크로부터 측정된 값을 50초간 평균하여 얻은 값을 사용하였다. 그림 15는 PWM방식에 따른 모터의 가정소음 파워 스펙트럼을 나타내고 있다. 먼저 그림 9(a)는 3상 SVM을 수행한 경우인데, 그림 7(a)와 그림 8(a)로 나타낸 선간전압의 스펙트럼과 동일하게 2배의 스위칭 주파수에서 가장 강한 소음이 발생하고 있다.

그림 9(b)는 2상 SVM의 가정 소음 스펙트럼의 결과이며 전압 스펙트럼과 동일하게 스위칭 주파수에서 가장 강한 소음이 존재하고 있다. 3상과 2상 SVM 모두, 스위칭 주파수와 상관없는 주파수대인 800Hz과 1.3kHz에서의 저주파수 소음이 약간 존재하고 있다. 그림 9(c)와 그림 9(d)는 3상과 2상 SRP-PWM의 결과로서, 3상과 2상 SVM과 비교하여 보면, 이산적인 소음 스펙트럼이 상당히 완화되어져 있음을 알 수 있다. 특히 2상 SRP-PWM의 경우에는 3상의 SRP-PWM에 비교하여, 4kHz부터 8kHz대의 소음의 불연속적인 특성이 더욱 더 감소되어져 있다. 이는 전압 스펙트럼에서도 알 수 있는 바와 같이, 2상의 SRP-PWM은 스위칭 주파수를 제외한 고조파 특성이 3상 SRP-PWM에 비하여 매우 우수하기 때문이다.

그러나 SRP-PWM의 경우에는 확정적 주파수 SVM에 비하여 1kHz대의 소음 성분이 상당히 증가함을 알 수 있다. 이는 모터의 고유 주파수와 랜덤 스위칭 주파수가 중첩되어 기계적인 공진을 유발하여 발생한 현상이다. 이와 같이 RPWM 스위칭으로 구동되는 모터의 예기치 못한 공진은 RPWM의 단점으로 지목되고 있다. RSF-PWM기법의 경우에는, Holtzer법[10]에 의하여 공진 주파수를 예측한 후, 지능적 전력밀도 합수[11]로 해당 공진 주파수만을 상쇄 할 수 있다.

표 1 RPWM 변조기법의 비교

Table 1 Comparison of different random modulation techniques

Good: ○ Average: △ Bad: †

	3phase SVM	2phase SVM	3phase SRP	2phase SRP
Voltage harmonics	†	†	○	△
Current ripple	○	△	△	†
Acoustic noise	†	†	△	○
Switching loss	△	○	△	○

표 1은 각 방식의 RPWM기법을 서로 비교한 결과이다. 전 영역의 고조파 확산이라는 측면에서 전압 고조파 스펙트럼은 3상 SPP-PWM이 우수한 것으로 판단된다. 스위칭 주파수대에 집중된 고조파 에너지를 제외하면 2상 SRP-PWM도 양호한 전압 고조파 특성을 갖고 있다. 특히 2상 SRP-PWM는 3상의 SRP-PWM과 비하여, 4kHz부터 8kHz대의 전압 고조파의 불연속적인 특성이 현저히 감소되고 있다. 이 결과는 소음의 스펙트럼에 곧바로 영향을 미치게 되며 따라서 2상 SRP-PWM은 3상 SRP-PWM보다 소음 특성이 약간 우수하다.

한편 전류 파형은 예상된 바와 같이 3상 및 2상 SVM이 SRP-PWM보다 양호하다. 스위칭 손실과 구현성의 평가에서는 3상 SRP-PWM과 3상 SVM보다는 2상만을 다루는 2상 SRP-PWM과 2상 SVM이 유리한 것으로 판정되었다.

5. 결 론

본 연구에서는 2상과 3상의 랜덤 펄스 위치 변조기법을 모터 구동장치에 적용한 후, 가청 스위칭 소음 저감의 성능을 비교 검토한 결과 다음과 같은 결론을 얻을 수 있었다. 인버터 출력 선간 전압의 고조파에 대한 광대역화 효과는 2상 SRP-PWM기법보다는 3상 SRP-PWM기법이 우수하였다. 2상 SRP-PWM은 2상 만을 다루기 때문에 스위칭 손실과 연산시간이 절약되고 구현이 간단하다는 장점이 있다. 따라서 소음 저감 특성 까지 고려한 전압 고조파의 광대역화는 2상 SRP-PWM이 우수하였다. 인버터 전류파형은 3상 SVM과 2상 SVM이 우수하였고 3상 SRP-PWM 그리고 2상 SRP-PWM순으로 전류 맥동이 존재하였다. 그러나 이는 PWM의 랜덤한 특성에 따른 전류의 궤적이나 랜덤하게 변화하기 때문이며, RPWM에서는 당연한 결과라고 생각된다.

끝으로 본 연구에서 다룬 SRP-PWM기법은 종전의 SVM을 적용할 수 있는 센서리스 벡터 제어기를 포함

하여 대부분의 인버터 구동 장치에 부가적인 노력이 없이 용용 가능하리라 기대된다.

본 연구는 한국과학재단 지정 전남대 고품질전기전자부품 및 시스템 연구센터 연구비 지원에 의하여 연구된 결과임.

참 고 문 헌

- [1] S.H. Na Y.G.Jung, Y.C.Lim and S.H.Yang, "Reduction of audible switching noise in induction motor drives using random position PWM", IEE Proc. Electr. Power Appl., vol.149, no.3, May, pp.195-202, 2002.
- [2] M.M.Bech, J.K.Pedersen, F.Blaabjerg, "Field-oriented control of an induction motor using random pulse width modulation", IEEE APEC'00, pp.924-931, 2000.
- [3] F. Blaabjerg, J. K. Pedersen, "Digital implemented random modulation strategies for ac and switched reluctance drives", IEEE IECON'93, pp.676-682, 1993.
- [4] M.M.Bech, J. K. Pedersen F. Blaabjerg, A. M. Trzynadlowski, "A methodology for true comparison of analytical and measured frequency domain spectra in random PWM converters", IEEE Trans. PE, vol. 14, no. 3, pp. 578-586, 1999.
- [5] C.M.Liau, Y.M.Lin, "Random slope PWM inverter using existing system background noise : analysis, design and implementaion", IEE Proc. Electr. Power Appl., vol. 147, no.1, pp.45-54, 2000.
- [6] T.G. Habetler and D. M. Divan, "Acoustic noise reduction in sinusoidal PWM drives using a randomly modulated carrier", IEEE Trams. PE, vol. 6, no. 3, pp. 356-363, 1991.
- [7] F. Blaabjerg, J. K. Pedersen, "Implementation and test of a digital quasi-random modulated SFAVM PWM in a high performance drive system", IEEE IECON'93, pp.265-270, 1993.
- [8] A. M. Trzynadlowski, J. K. Pedersen, R. L. Kirlin, S. Legowski, "Space vector PWM technique with minimum switching losses and a variable pulse rate", IEEE Trans. IA, vol.44, no.2, pp.173-181, 1997.
- [9] A. M. Trzynadlowski, M.M.Bech, J. K. Pedersen, R. L. Kirlin, S. Legowski, " Optimization of switching frequencies in the limited-pool random space vector PWM strategy for inverter fed drives", IEEE Trans. PE vol.16, no.6, pp.852-857, 2001.
- [10] J.K.Pedersen, F.Blaabjerg, "Determination of mechanical resonances in induction motors by random modulation and acoustic measurement", EPE'93, pp.319-324, 1993.
- [11] J.K.Pedersen, F.Blaabjerg, "Reduction of acoustical noise emission in ac machines by intelligent distributed

- random modulation", EPE'93, pp.369-375, 1993.
- [12] R.L.Kirlin, S.Kwok, S.Legowski and A. M. Trzynadlowski, "Power spectra of a PWM inverter with randomized pulse position", IEEE Trans. PE vol.9, no.5, pp.463-471, 1994.
- [13] M.M.Bech, J.K.Pedersen, F.Blaabjerg, "Random modulation techniques width fixed switching frequency for three-phase power converters", IEEE PESC'99, pp.544-551, 1999.
- [14] V.Blasko, "Analysis of a Hybrid PWM based on modified space vector and triangle comparison methods", IEEE Trans. IA, vol.33, no.3, pp.756-764, 1997.
- [15] S.H.Na, Y.G.Jung, H.G.Kim and Y.C.Lim, "A new space vector random PWM scheme for induction motor drives", ICPE(Seoul, KOREA), pp.160-168, 2001.
- [16] 정영국, 나석환, 임영철, "인버터 구동 시스템을 위한 새로운 공간벡터 Random PWM기법", 전력전자학회 논문지 제6권 제6호, pp.525-537, 2001.
- [17] 임영철, 나석환, "Random Position PWM을 이용한 유도전동기의 가정 스위칭 소음 저감", 전력전자학회 논문지 제3권 제4호, pp.287-297, 1998.
- [18] 장도현, 윤덕용, "2상 유도전동기의 구동을 위한 2상 인버터의 2상 공간전압벡터 PWM방식", 전력전자학회 논문지 제7권 제1호, pp.1-10, 2002.
- [19] S.Halasz,B.T.Huu, "Two-phase PWM technique for inverter fed ac drives", IEEE IECON'97, pp.688-693, 1997.
- [20] Y.S.Lai, H.C.Huang, C.M.Young, "A New random inverter control technique for motor drive", IEEE APEC'98, pp.101-107, 1998.